Agip S.p.A.
ATTIVITA' MINERARIE
AGEO-SECE

AGIP
ARCHIVIO POZZI
AGEO

4506 COL

Profilo del pozzo : E/PROF

MIMOSA 1

Permesso :

Disegno N°:	Aggiornato al : OTTOBRE 1983	Allegato a :	Allegato N°: 7
Scala : 1:1000	Data : LUGLIO 1983	Compilatore: F. CHECCHI	Disegnatore : O. MATTEI

MARE TIRRENO ZONA "E„

Carta F.° Tav: Scala 1:25'000

42° 30' 00"
MIMOSA 1
E.R39.AG/1
42° 00' 00"
9° 30'
10° 30'

Coord. geog. Long. 10° 05' 29",603 Gr. Lat 42° 16' 23",130
Coord. piane E -2° 21' 34 N
Fondo pozzo Long Lat

ROCCE TERRIGENE

- Elementi di breccia
- Ciottoli
- Sabbia grossolana
- Sabbia fine
- Sabbia quarzosa
- Sabbia sublitica
- Sabbia litica
- Sabbia subfeldspatica
- Sabbia feldspatica
- Silt
- Argilla
- Marna

CEMENTI

- Cemento in generale
- Cemento siliceo
- Cemento carbonatico
- Cemento calcitico
- Cemento dolomitico
- Cemento solfatico
- Cemento ferruginoso
- Cemento sideritico

ROCCE CARBONATICHE

- Calcare in generale
- Mudstone
- Wackestone
- Packstone
- Grainstone
- Boundstone
- Chalk
- Calcare dolomitico
- Dolomia calcarea
- Dolomia in generale
- Dolomia media e grossa (> 62 μ)
- Dolomia fine (< 62 μ)

ALTRE ROCCE

- Gesso o anidrite
- Sali di Na, K, Mg.
- Carbone in generale
- Selce
- Rocce ferruginose

ROCCE IGNEE E METAMORFICHE

- Rocce intrusive
- Rocce effusive
- Rocce filoniane
- Rocce piroclastiche
- Rocce metamorfiche

PARTICELLE E FOSSILI

- Intraclasti angolosi in generale
- Intraclasti arrotondati in generale
- Pellettoidi
- Ooliti
- Oncoliti
- Macrofossili in generale
- Alghe
- Briozoi
- Coralli
- Crinoidi
- Lamellibranchi
- Rudiste
- Macroforaminiferi
- Microfossili in generale
- Foraminiferi planctonici
- Foraminiferi bentonici
- Frammenti di fossili
- Rudiste in frammenti
- Radiolari
- Spicole di Spugna
- Ostracodi

STRUTTURE SEDIMENTARIE E DIAGENETICHE

- Stratificazione massiccia
- Stratificazione decimetrica
- Laminazioni parallele
- Stratificazione incrociata
- Stratificazione gradata
- Strutture nodulari
- Stromatoliti
- Bioturbazioni
- Stratificazione disturbata
- Laminazioni convolute
- Ripple marks
- Fessure di essiccazione
- Pressure solution
- Strutture geopete
- Birdseyes

TIPI DI POROSITA'

- PK Porosità chalk
- PI Porosità intergranulare
- PV Porosità vacuolare
- PC Porosità intercristallina
- PF Porosità per fratture

SIMBOLI VARI

- Assorbimenti
- Perdite di circolazione
- Carote di fondo con parte ricuperata
- Carote di parete
- F.I.T. – R.F.T.
- Contatto tettonico
- Discontinuità in generale
- Fratture
- Azimut e inclinazione

MINERALIZZAZIONE

- 🟨 Acqua dolce
- ▨ Acqua salmastra
- 🟦 Acqua salata
- ▨ Tracce di gas
- 🟩 Gas
- 🟪 Anidride carbonica
- ▨ Tracce di olio
- 🟥 Olio

MANIFESTAZIONI DURANTE LA PERFORAZIONE

- Tracce di gas
- Gas
- Acido solfidrico
- Anidride carbonica
- Tracce di olio
- Olio
- Bitume
- Acqua salata
- Acqua dolce
- Gas ed acqua salata
- Tracce di gas e di olio

- Tubi cementati
- Tubi forati con fucile
- Tubi "presi"
- Aste di perforazione "prese"
- Tappi di cemento
- Squeezing
- Bridge plug
- Foro direzionato
- Foro deviato
- Prova di strato riuscita
- Prova di strato non riuscita
- Prova di produzione
- Tubing con packer di produzione
- Pompa

Impianto SCARABEO IV
Contrattista SAIPEM
Profondità totale m 3827

Inizio perforazione 4 - 11 - 1982
Fine perforazione 4 - 2 - 1983
Impianto rilasciato il 6 - 3 - 1983

Intervallo in produzione
Inizio produzione

Esito del pozzo INDIZIATO A GAS
Status ABBANDONATO

Quota s.l.m { Tavola rotary m 32,5 / Prima flangia m / Piano campagna m
Fondo mare m -188
T.R.- P.C. m

CUTTINGS	ETA'	FORMAZIONE	PROFONDITA' IN METRI	COLONNA LITOLOGICA	AZIMUT INCLINAZIONE	POTENZIALE SPONTANEO (mV) O GAMMA RAY (API Units)	Mineralizz. Manifestaz.	RESISTIVITA' ohms m²/m	CAROTE	AMBIENTE	Strutture e tipi di porosità	PALEONTOLOGIA		PROVE ESEGUITE	TUBAZIONI				OSSERVAZIONI	Avanzamento
												FOSSILI	ZONE		Ø 30"	Ø 20"	Ø 13 3/8"	Ø 9 5/8"		
			0																	
			10																	
			20																	
			30									LIVELLO MARE							m 32,5	
			40																	
			50																	
			60																	
			70																	
			80																	
			90																	
			100																	
			10																	
			20																	
			30																	
			40																	
			50																	
			60																	
			70																	
			80																	
			90																	
			200																	
			10																	
												FONDO MARE							m 220,5	

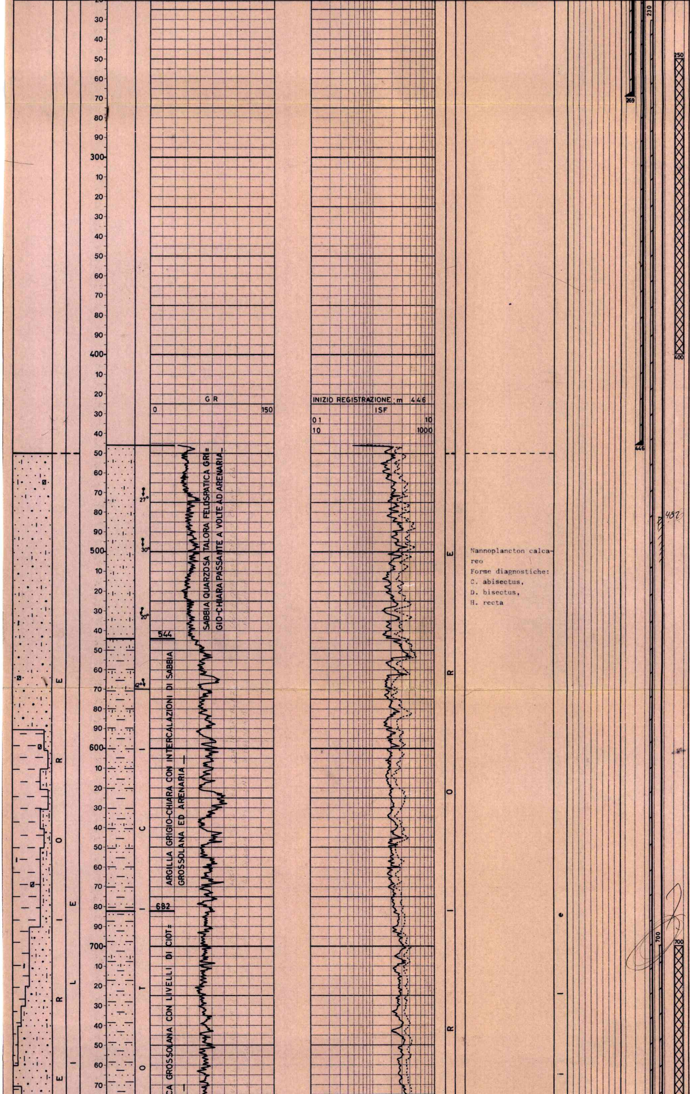

Nannoplancton calcareo
Forme diagnostiche:
C. abisectus,
D. bisectus,
H. recta

NOTA

Tutte le profondità sono riferite al P.T.R.

TUBAZIONI

Ø 30" a m 269

Cementata con qli 390 di cemento classe "G"
Risalita cemento a fondo mare.

Ø 20" a m 446

Cementata con qli 1000 di cemento classe "G"
D=1520-1900 g/l
Risalita cemento a fondo mare.

Ø 13"3/8 a m 1199

Cementata con qli 800 di cemento classe "G"
D=1450-1900 g/l
Risalita cemento a m 230

Ø 9"5/8 a m 1959

Cementata con qli 730 di cemento classe "G"
D = 1910 g/l
Risalita cemento a m 700

TERMOMETRIE

Nessuna.

CEMENT BOND LOG

9"5/8
m 1951 ÷ 420
Cementata fino a m 482

MISURE DI VERTICALITA'
(Totco)

A m 271 = 0° 15'
" " 456 = 1° 00'
" " 587 = 0° 30'
" " 735 = 0° 45'
" " 859 = 0° 30'
" " 1085 = 1° 00'
" " 1207 = 1° 15'
" " 1410 = 1° 15'
" " 1615 = 1° 15'
" " 1785 = 1° 30'
" " 2064 = 2° 45'
" " 2210 = 2° 30'
" " 2374 = 1° 15'
" " 2458 = 1° 45
" " 2571 = 1° 45'
" " 2666 = 1° 30'
" " 2746 = 1° 15'
" " 2866 = 1° 45'
" " 3101 = 1° 00'
" " 3310 = 1° 00'
" " 3404 = 3° 00'
" " 3437 = 3° 00'
" " 3497 = 3° 15'

CUTTINGS

Da m 460 a m 1970 ogni 10 m

Da m 1970 a m 2660 ogni 5 m

Da m 2660 a m 3827 ogni 3 m.

CAROTE DI FONDO

Prelevate n.1 con recupero.

1) m 2458 ÷ 2467

Recupero m 7.9 = 87%
Alternanze di arenaria grigia quarzoso feldspatica con frammenti di roccia carbonatica con argilla verde siltosa micacea.
Pendenze: 0 ÷ 10°
Manifest.: nessuna
Età: Eocene

CAROTE DI PARETE

Nessuna.

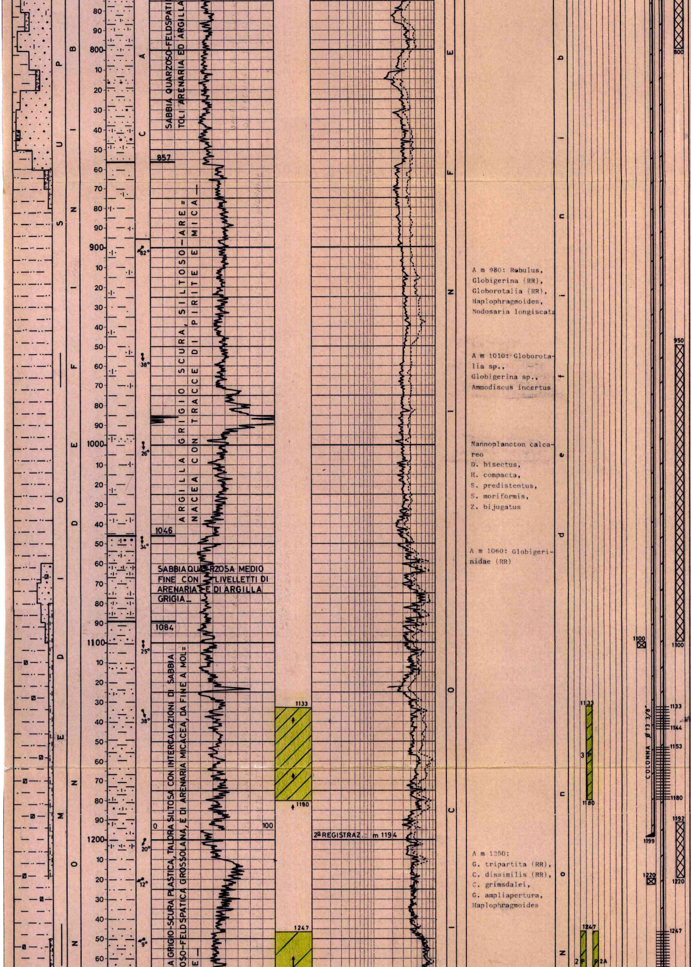

A m 980: Robulus,
Globigerina (RR),
Globorotalia (RR),
Haplophragmoides,
Nodosaria longiscata

A m 1010: Globorotalia sp.,
Globigerina sp.,
Ammodiscus incertus

Nannoplancton calcareo
D. bisectus,
H. compacta,
S. predistentus,
S. moriformis,
Z. bijugatus

A m 1060: Globigerinidae (RR)

A m 1250:
G. tripartita (RR),
C. dissimilis (RR),
C. grimsdalei,
G. ampliapertura,
Haplophragmoides

FANGO DI PERFORAZIONE
(Densità in g/l)

Tipo AS

m 0.00	-	490	D=1110
" 490	-	584	D=1160
" 584	-	1026	D=1180
" 1026	-	1264	D=1260
" 1264	-	1413	D=1480
" 1413	-	1564	D=1460
" 1564	-	1832	D=1470
" 1832	-	1905	D=1480
" 1905	-	1934	D=1560
" 1934	-	1852	D=1650
" 1852	-	1969	D=1720
" 1969	-	1975	D=1760
" 1975	-	1991	D=1800
" 1991	-	2057	D=1830
" 2057	-	2336	D=1940
" 2336	-	2418	D=1950
" 2418	-	2458	D=1940
" 2458	-	3082	D=1970
" 3082	-	3148	D=1980
" 3148	-	3497	D=1990
" 3497	-	3501	D=1980
" 3051	-	3569	D=2040
" 3569	-	3641	D=2050
" 3641	-	3666	D=2040
" 3666	-	3760	D=2020
" 3760	-	3806	D=2010
" 3806	-	3827	D=2020

ASSORBIMENTI

Nessuno.

MANIFESTAZIONI
(Detector continuo DRESSER)

GAS

In perforazione

m 1139	4.07%
" 1167	6.8%
" 1183	12.1%
" 1259	4.0%
" 1263	22.8%
" 1913	6.2%
" 1916	22.7%
" 1937	8.6%
" 1961	15.3%
" 1982	5.1%
" 2032	12.1%
" 2441	6.5%
" 2445	2.7%
" 3021	2.5%
" 3024	1.8%

Da m 3034 a 3042:1.0÷1.2%
" " 3081 a 3103:1.3÷1.8%
" " 3181 a 3220:1.1÷1.6%
" " 3150 a 3343:1.3÷2.3%

OLIO
Nessuna

ACQUA
Nessuna

Nei cuscini di fondo

m 1870	39.2%
" 1905	21.5%
" 1916	22.7%
" 1969	28.3%
" 2458	40.9%
" 2467	27.6%
" 2622	28.3%
" 2667	30.0%
" 2691	32.0%
" 2745	37.0%
" 2801	31.0%
" 2866	49.0%
" 2895	48.0%
" 2940	34.7%
" 3008	30.7%
" 3076	25.0%

?

Nota: sono stati tralasciati cuscini inferiori al 20%

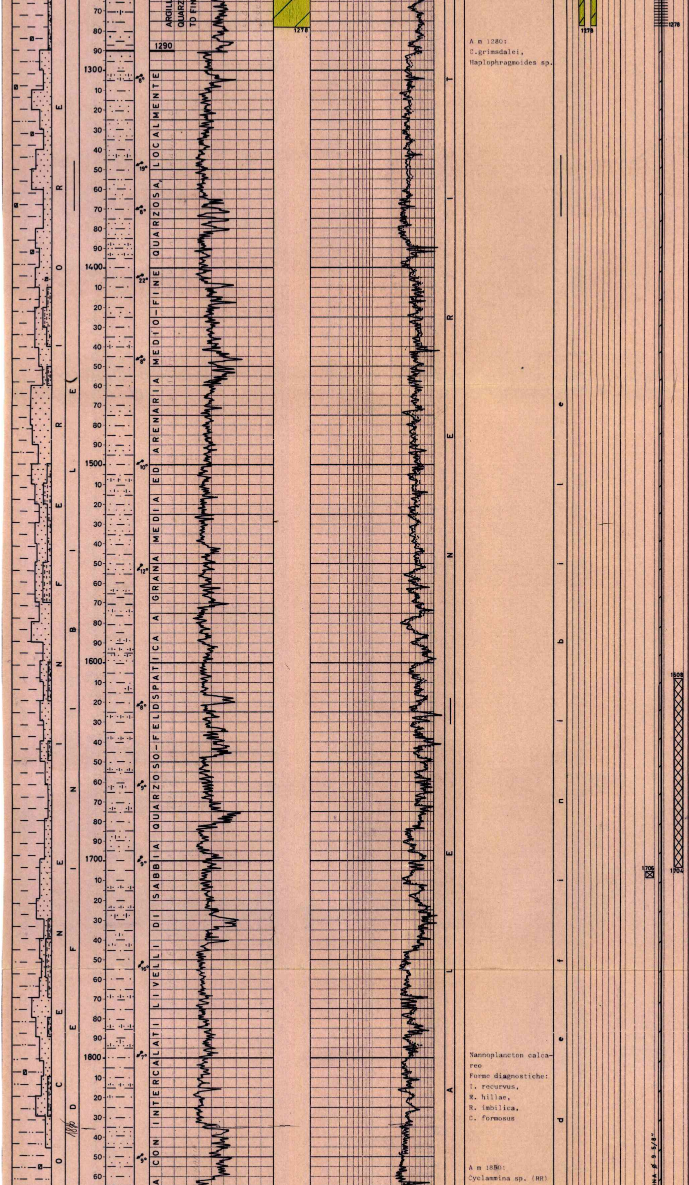

A m 1280:
C.grimsdalei,
Haplophragmoides sp.

Nannoplancton calcareo
Forme diagnostiche:
I. recurvus,
R. hillae,
R. imbilica,
C. formosus

A m 1850:
Cyclammina sp. (RR)

OPERAZIONI SCHLUMBERGER

ISF-SLS
1211 ÷ 446
1194 ÷ 1968
3568 ÷ 1951
3826 ÷ 3528

FDC-CNL-GR-C
1211 ÷ 446 ✓
1194 ÷ 1968 ✓
3568 ÷ 1951 ✓
3826 ÷ 3528

HDT
1211 ÷ 446
1194 ÷ 1968
3568 ÷ 1951
3826 ÷ 3526

CIS per misure di velocità m 250 - ~~2569~~ 3568
CBL-VDL-GR

PERFORAZIONE COLONNE

m 1952÷1979/1988.5÷1994.5
Con n. 429 cariche Hyperjet.
Fucile Ø 4"

m 1278÷1247
Con n. 403 cariche Hyperjet.
Fucile Ø 4"

m 1133÷1144/1153÷1180
Con n.494 cariche Hyperjet.
Fucile Ø 4"

TAPPI DI CEMENTO

m 3500-3350
Con qli 73 di cemento classe "G" D=1950 g/l.

m 2650-2500
Con qli 82 di cemento classe "G" D=1950 g/l.

m 2070-1870 fresato fino a m 2053
Con qli 120 di cemento classe "G" D=1950 g/l.

m 2053-1850 fresato fino a m 1988
Con qli 110 di cemento classe "G" D=1980 g/l.

m 1704-1608
Con qli 80 di cemento classe "G" D=1950 g/l.

m 1220-1192
Con qli 80 di cemento classe "G" D=1900 g/l.

TAPPI PER CHIUSURA MINERARIA

m 1100-950
Con qli 78 di cemento classe "G" D=1900 g/l.

m 800-700
Con qli 51 di cemento classe "G" D=1900 g/l.

m 400-250
Con qli 77 di cemento classe "G" D=1900 g/l.

BRIDGE PLUGS

Ø 9"5/8
A m 1706 tipo EZ-SV

Ø 9"5/8
A m 1220 tipo EZ-SV

Ø 9"5/8
A m 1100 tipo EZ-SV

SQUEEZINGS
Nessuno.

PROVE DI STRATO IN FORMAZIONE

Nessuna.

PROVE DI STRATO ATTRAVERSO SCARPA

Nessuna.

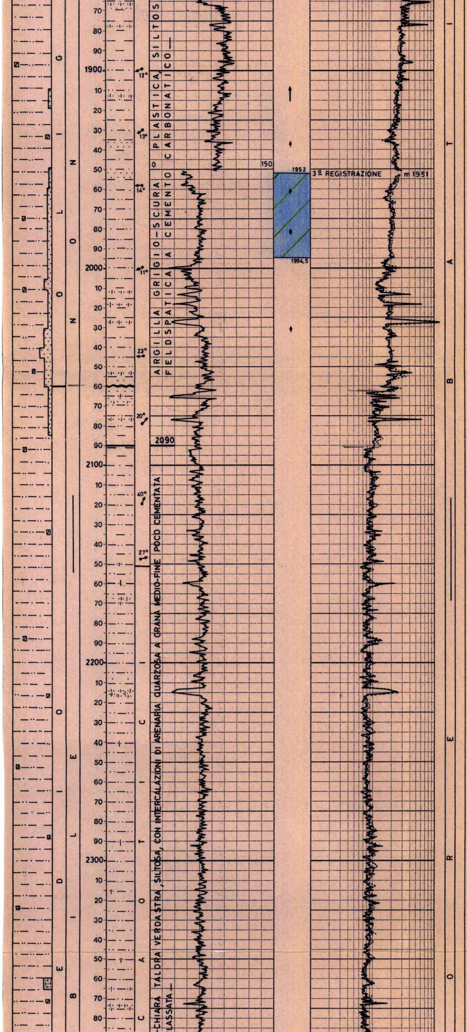

A m 1940:
Amphistegina sp.(R),
Cyclammina sp.,
C. dissimilis,
Globigerina sp.,
Bathysiphon,
Arenacei

Amphistegina sp.(RR)

Amphistegina sp.(RR)

Nannoplancton calcareo
Forme diagnostiche
S. furcatulithoides,
S. radians,
S. spiniger

A m 2090:
G. bullbrooki,(R),
G. aragonensis,(R),
G. boweri (RR),
Globigerinatheka barri (RR),
Globigerina sp.,
Globorotalia sp.,
Bathysiphon

A m 2120 :
G. bullbrooki, (R),
G. aragonensis,(R),
G. boweri (RR),
Globigerinatheka barri (RR),
Globigerina sp.,
Globorotalia sp.,
Bathysiphon

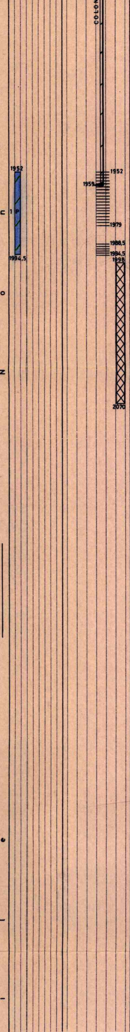

PROVE DI STRATO IN COLONNA

Nessuna.

PROVE DI PRODUZIONE

1) m 1952-1994.5
16-18/2/1983

Packer RTTS Ø 9"5/8 fissato a m 1930.68
Tubing Ø 3"1/2 pieni di acqua dolce.
Duse: Ø 1/4"

DURATA: erogazione 18h 22' (14 h 33' risalita)

RISULTATI: gas con cuscini di acqua immessa

Pressioni:
Idr.iniz. : 392.7 Kg/cmq
Iniz.1^erog.203.2 "
Fine 1^erog.202.5 "
Chiusura : 288.84 "
Iniz.2^erog.208.36 "
Fine 2^erog.215.61 "
Chiusura : 245.69 "
Iniz.3^erog.220.39 "
Fine 3^erog.214.88 "
Chiusura : 268.89 "
Idr.finale: 390.51 "

2) m 1247-1278
19-21/2/1983

Packer RTTS Ø 9"5/8 fissato a m 1229
Tubing Ø 3"1/2
per 500 m (lt 2160) di acqua dolce
Duse: Ø 1/4"
DURATA: 15h erogazione (22h 5' risalita)

RISULTATI: Gas (C1=50%; C2=7%) e acqua salata (NaCl=19.8 g/l)
Q gas = 48250 Nmc/g
Q acqua= 300 lt/h

Pressioni:
FTHP = 82.9 Kg/cmq
FBHP = 104.9 "
STHP = 134.9 "
SBHP = 150.0 "

NOTA:
La prova è stata interrotta per perdita di gas tra la flangia della croce e la riduzione con attacco Bowen.

2/A) m 1247-1278
22-23/2/1983

Packer RTTS Ø 9"5/8 fissato a m 1228.5
Tubing Ø 3"1/2 riempiti per m 500 (lt 2160) di acqua dolce
Duse: Ø 1/4"
DURATA: 10h 50' erogazione;(18h 10' risalita)
RISULTATI: Gas (C1=52.7% C/2=24.7%) ed acqua salata (NaCl = 18.15 g/l)
Q gas = 30240 Nmc/g
Q acqua= 450 lt/h

Pressioni:
FTHP = 65.3 Kg/cmq
FBHP = 90.5 "
STHP = 125.84 "
SBHP = 139.50 "

3) m 1180-1153/1144-1133
24-28/2/1983

Packer RTTS Ø 9"5/8 fissato a m 1113
Tubing Ø 3"1/2 riempiti per m 478 (lt 2070) con acqua dolce
Duse: Ø 1/4"

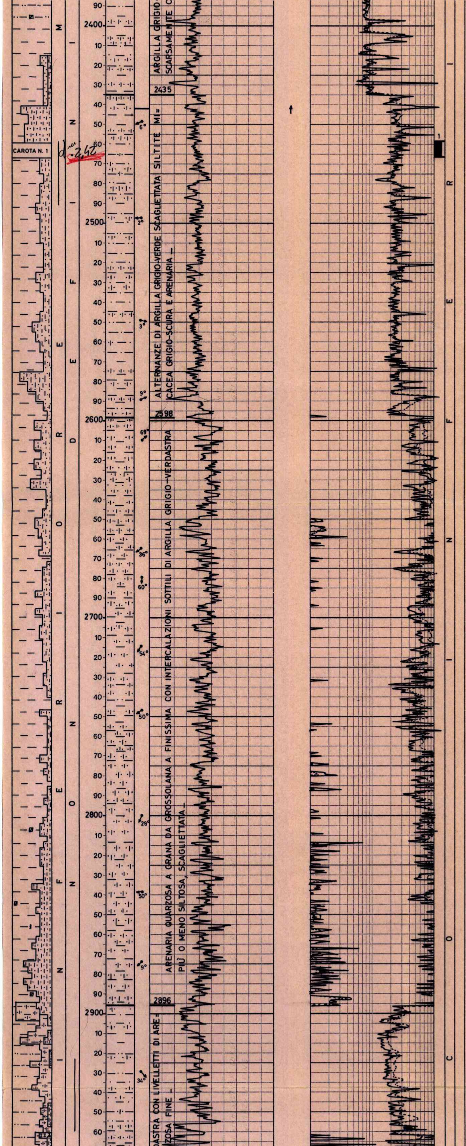

Nella carota: faune molto scarse:
Globorotalia bullbrooki,
Lenticulina sp.,
Gyroidina sp.,
Catapsydrax dissimilis,
Globigerina sp.,
Discocyclina sp.

A m 2470:
G. bullbrooki,
G. linaperta

A m 2590:
piccole Globorotalia sp. (RR)

A m 2620:
G. bullbrooki (RR)

A m 2705:
G. bullbrooki (RR)

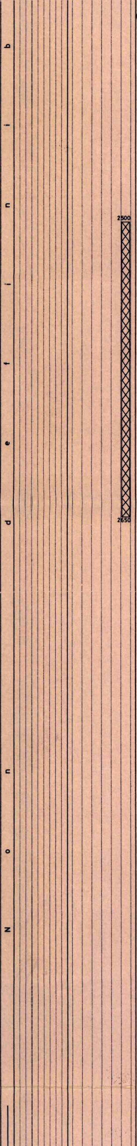

DURATA: 9h erogazione
(31 h risalita)
RISULTATI: Gas ed acqua
(NaCl = 18.15 g/l)

Q gas = 8900 Nmc/g
Q acqua= 570 lt/h

Pressioni:

FTHP = 22.6 Kg/cmq
FBHP = 42.5 "
STHP = non rilevata
SBHP = 110.6 Kg/cmq

ACIDIFICAZIONI

Nessuna.

ANALISI

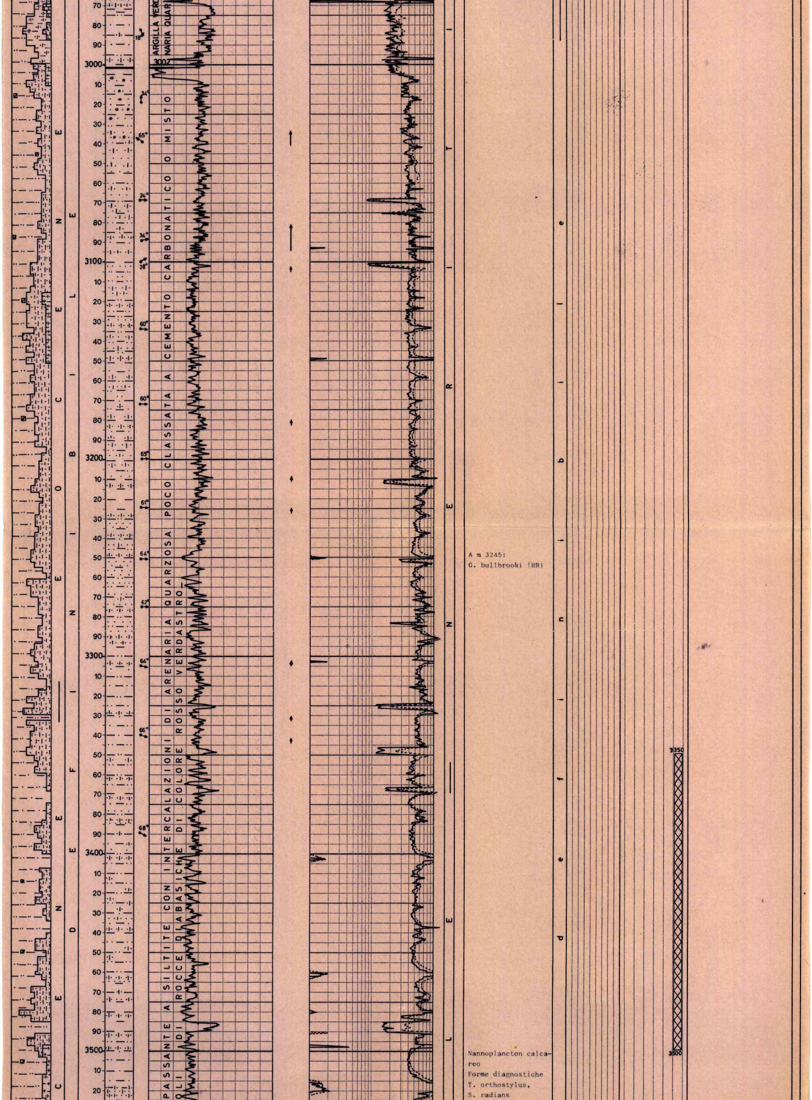

PASSANTE A SILTITE CON INTERCALAZIONI DI ARENARIA QUARZOSA POCO CLASSATA A CEMENTO CARBONATICO O MISTO

OLI DI ROCCE DIABASICHE DI COLORE ROSSO VERDASTRO

A m 3245:
G. bullbrooki (RR)

Nannoplancton calcareo
Forme diagnostiche
T. orthostylus,
S. radians

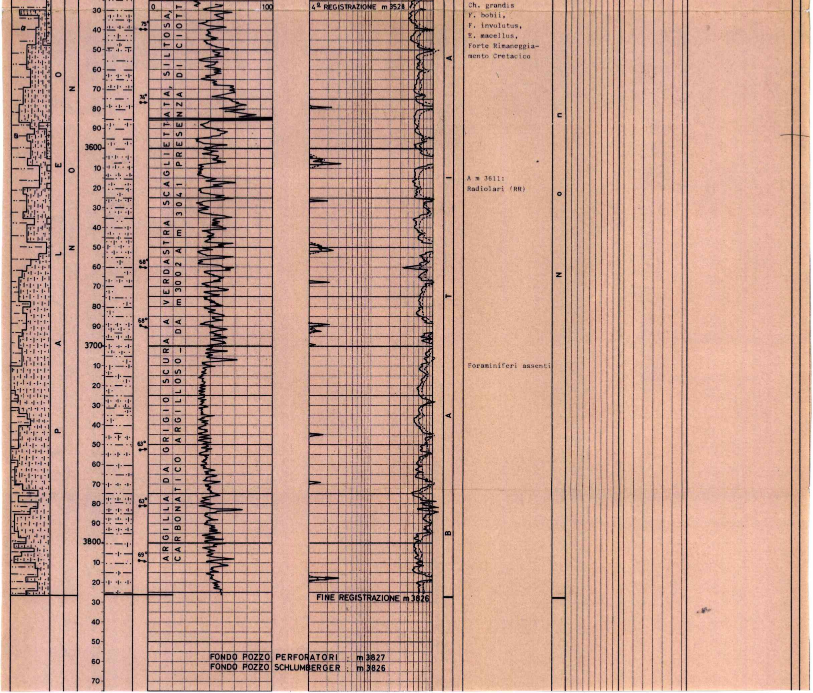

Ch. grandis
F. bobii,
F. involutus,
E. macellus,
Forte Rimaneggiamento Cretacico

A m 3611:
Radiolari (RR)

Foraminiferi assenti